

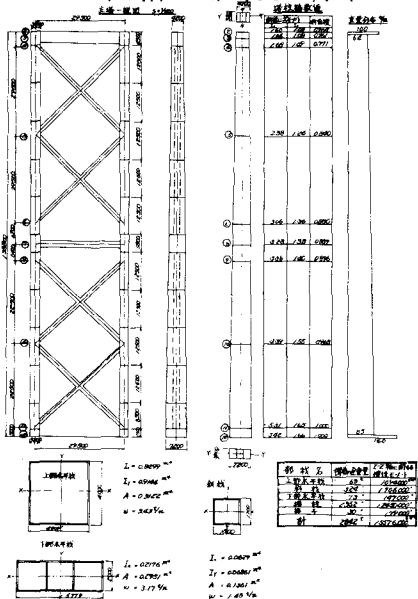
日本道路公団  
建設省土木研究所  
建設省土木研究所 ○成田 信之  
村上 永一  
大久保忠良

### 1. まえがき

関門道路橋は日本道路公団により現在架設中の三径間斜張橋で、その規模は主径間712m、側径間178m、往復6車線である。補剛形式はトラス・箱桁の両形式について耐風性、施工性等を比較検討。結果、桁高9mのトラス補剛と決定した。その後、架設時の耐風性を取上げられ、独立主塔、キャットウォークについても風洞実験が進められている。ここでは主塔単体の風洞実験の結果を報告する。実験に供した模型は図-1に示す通りである。

### 2. 部分・全体系模型による空気力係数測定

構造物に作用する空気力は部材各部ごとの値を累加する。主塔のようないかに高い構造物において然りである。今回の実験では次の3種。模型について空気力を計測した。模型の諸寸法  
 [模型A：塔底部34.2m分の部分模型] 尺は1/100とした  
 [模型B：塔中間部29.5m分の部分模型] 模型に対するは所  
 [模型C：全体系模型] 要の端板を取り付  
 け、端部の条件を満足するように配慮した。実験風速は10, 15, 20m/sの3種とし、又、空気力係数は次式で整理した。但し、  
 D, L, M, は風軸に又、D, I, Mは塔軸軸にに対応する抗力  
 $C_D = D / \frac{1}{2} \rho V^2 A, C_L = L / \frac{1}{2} \rho V^2 B l, C_M = M / \frac{1}{2} \rho V^2 B^2 l$   
 $\bar{C}_D = \bar{D} / \frac{1}{2} \rho V^2 A, \bar{C}_L = \bar{L} / \frac{1}{2} \rho V^2 B l, \bar{C}_M = \bar{M}$



揚力、空力モーメントを表わし、Aは橋軸直角方向の見付面  
 積、Bは同塔柱の外側幅、Iは高さを表わす。全体系模型については抗力のサマを算出した。実験結果を図-2, 3に示す。

### 3. 全体系模型による空力安定性の検討

架設中の主塔が受けたどのような挙動を示すかを知ることが本実験の目的であり、次の3つの状態について検討した。

[状態A：主塔の工事が終了し、独立塔となる状態。主ケーブルは張られていない。  
 状態B：主塔の架設は終了したが、架設用クレーンが塔底部に設置されている状態  
 状態C：主塔の高さ約100mで建設された状態。クレーンが底部に搭載されている。]

勿論各状態において構造物は空気力により揚げ或は傾けの振動又は軒轅の連成振動を発生する可能性がある。従って、これらすべての現象を検討できるような空力弹性化模型を作り、実験することを理想であるが、所要の材料の入手、製作精度等に困難が多く、又、固有振動数および構造減衰を自由に

調整できない欠点がある。ながらも、模型の構造減耗は壁厚に比べて可成り大きくなるのが通常である。従って、危険側の実験を強められることとなる。このような事情から今回の実験は最も発現可能な大きさの橋軸方向の最低次の曲げ振動の半周期を取り上げることとした。模型は剛体とし、塔基部は回転できることはね支持することとした。塔状構造物の場合重力加速度の影響は無視できる。材料となる物理量としては構造質量 $S$ 、風速 $V$ 、固有振動数 $N$ 、寸法 $D$ 、慣性モーメント $I$ 、空気密度 $\rho$ 、空気の粘性係数 $\mu$ 、 $1/4$ ケルビンから出る。これより相似すれば無次元パラメータは $\delta = \sqrt{ND}/\sqrt{\rho D^5}$ 、 $8\sqrt{D}/\mu$ の4つとなる。模型は角型部材より構成されていてレイノルズ数の影響は無視した。模型の各状態における固有振動数は下表の通り算出された。

模型の状態	A	B	C
固有振動数(%s)	0.305	0.288	0.479

模型の高さは $1/60$ とし、風向風に対する偏角は橋軸直角方向より $+10^\circ$ と $-10^\circ$ で走査し、 $5^\circ$ 刻みで模型を設定し、各偏角に対する安定性を検討した。試験風速は模型で最大で $0.5 \text{ m/s}$ までの範囲とした。

実験の結果は図-4に示す通りである。これによると主塔は橋軸直角方向からの風に対して最も敏感に反応するが、南面が大きくなるにつれて抵抗力は減衰し、土 $20^\circ$ 以上では殆ど振動しなくなることが判る。振動の原因を光明するには模型の背後の波流に含まれる渦の周期を $3\text{t}$ の高さで標準風速計を用いて測定した。その結果渦の発生周波数は模型の固有振動数とほぼ一致することが確認された。これと空気力学的特性から振動の原因は揚力と揚力係数、負荷配分によるものと推定される。実験結果の詳細およびその考察については当該報告する予定である。なお、今回の実験を行なうに当り御協力下さいました日本道路公团関門架事務所、高田俊郎、佐伯章一両氏に感謝の意を表す次第である。

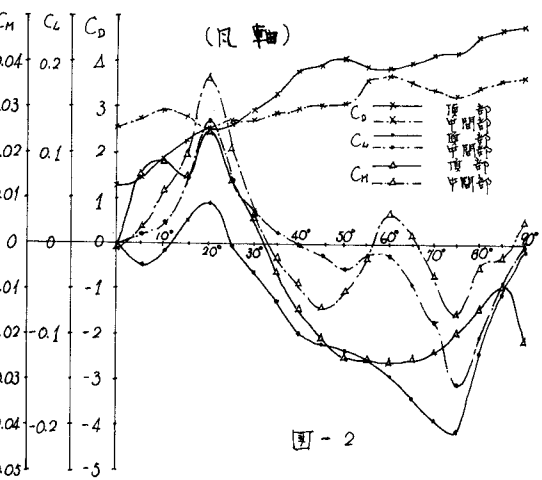


図-2

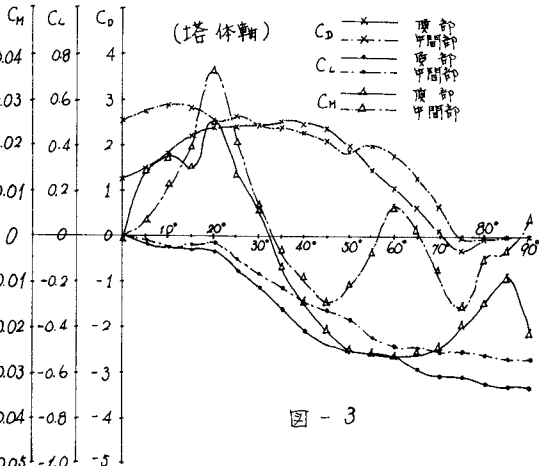


図-3

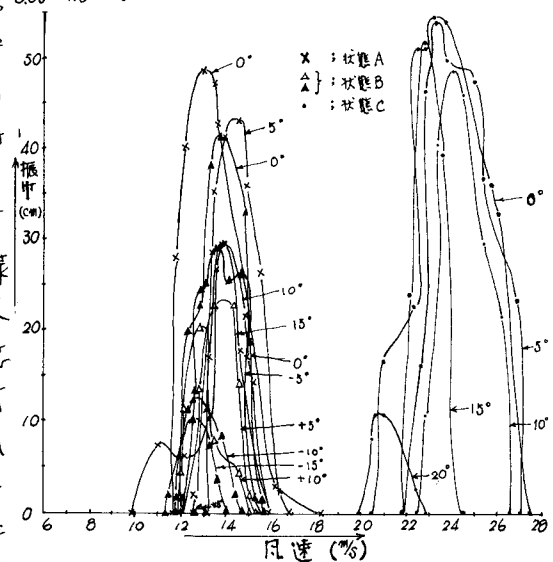


図-4